

曲線箱桁橋の特性に関する考察

鳥取大学工学部 正員 神部俊一

1. まえがき

箱桁が、充分な密度で配置された隔壁によって補剛されている場合、より変位の拘束が大きい。この現象をより精密に取り扱うためには、ねじり率が一様でないことによって生じるところのねじれに伴う二次せん断変形を考慮することが必要であるが、大きなねじれモーメントが作用する曲線箱桁橋の場合には一層重要なとなる。この二次せん断変形を橋軸方向にのみ近似的に考慮することによって導入された断面定数 ν が、どのような値をとるか各種の断面形状の箱桁橋について調べ、各種の載荷状態（ねじり荷重、端曲げねじりモーメント荷重）に対して、これが両端単純支持の曲線箱桁橋の各種断面力（曲げねじりモーメント M_w 、St. Venant のねじりモーメント T_s 、二次ねじりモーメント T_w ）に及ぼす影響について検討する。

2. 計算結果

$$\text{二次せん断変形を考慮すると, } \frac{1}{\nu} = R^3 \frac{J}{C_w^2} \int_p (\bar{\omega} - S_w)^2 \frac{1}{\rho^3} \frac{ds}{t} \quad (1)$$

$$\text{ここに, } \bar{\omega} = \frac{C_w}{T_w} \tilde{\omega}_{T_w}, \quad S_w = \int_0^s \omega t ds$$

で定義される断面定数 ν が新たに導入されることになり、曲げねじれ理論に現われる重要なパラメータである $\mu = R \sqrt{\frac{GJ}{EC_w}}$ は、 $\tilde{\mu} = K\mu$ に変わる。ここに、 $K = \sqrt{\frac{\nu}{1+\nu}}$

である。 $0 < \nu < \infty$ に対して、 $0 < K \leq 1$ であるから、断面定数 ν は、 μ の値を小さくする作用を有する。尚、 $\nu \rightarrow \infty$ の極限を考えると、従来の曲げねじれ理論に移行する。

図に示す5種類の箱桁断面について、 μ （ θ は中心角）、 ν 、 K の値を計算した結果を示すと表-1の通りである。

表-1

断面形	$\mu\theta$	ν	K
a	35	0.491	0.574
b	43	0.281	0.468
c	49	0.251	0.448
d	55	0.259	0.454
e	66	3.24	0.874



(a)



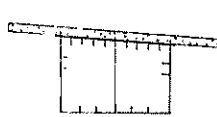
(d)



(b)



(e)



(c)

表-1の結果を参考することにより、以下に於ては $\mu\theta$ を 30, θ を 0.4 に固定して ν を 0.3, 0.5, 1.0, ∞ とえた場合（順次、実線、一重鎖線、二重鎖線を用いて示す）に、断面力 M_w , T_s , および T_w が変化する状態を図に示す。

破線

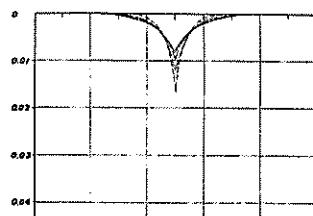


Fig. 1 Influence diagram for the warping constant T_w at the section of the center of the beam

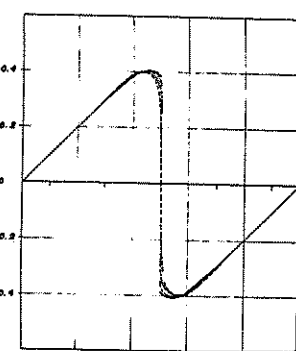


Fig. 2 Influence diagram for the st. rigidity's torsional moment T_s at the section of the center of the beam

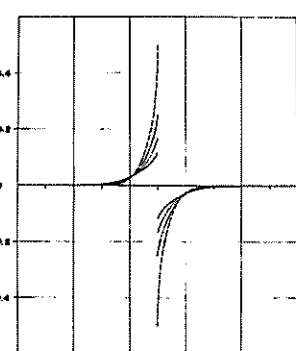


Fig. 3 Influence diagram for the secondary torsional moment T_w at the section of the center of the beam

図-1～図-3は、支間中央断面の断面力 M_w , T_s , および T_w の単位集中トルクに対する影響線を示している。

これから、ねじり拘束が大きい集中トルク作用点の近傍において、 ν の変化に対して断面力の差異が著しくなることが分る。

図-4～図-6は、等分布のねじり荷重を支間全長に渡って満載した場合の、 M_w , T_s , および T_w の断面力図を示している。

等分布の鉛直方向の荷重を満載した場合の M_w -図を図-7に示す。

次に、桁の右端部に曲げねじりモーメントを作用させた場合の M_w -図, T_s -図, および T_w -図を各々、図-8～図-10に示す。この場合、 ν の変化に対して各断面力は著しく変化するので、より変位の拘束が大きい連続桁の中間支承上の断面力に大きな差異が生ずることを伺わせる。

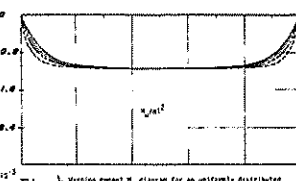


Fig. 4 Warping constant T_w diagram for an uniformly distributed torque over the whole length of the slider

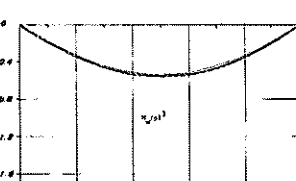


Fig. 5 Warping constant T_w diagram for an uniformly distributed load over the whole length of the slider

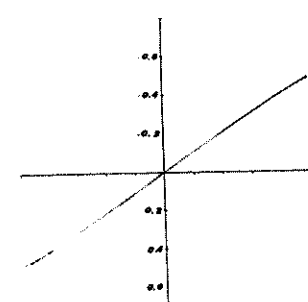


Fig. 6

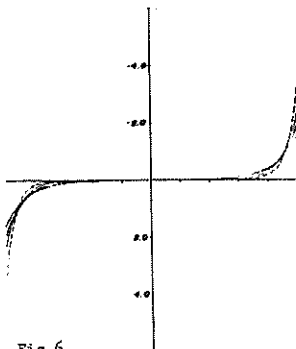


Fig. 7

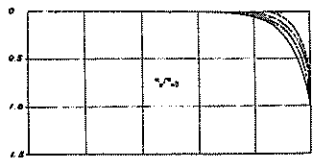


Fig. 8 Secondary torsional moment T_s diagram for an end bending moment M_B

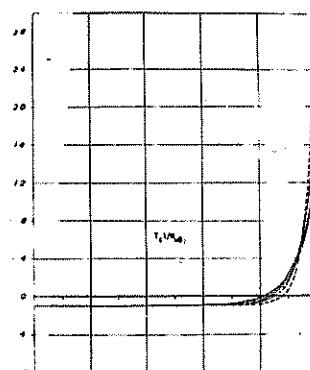


Fig. 9 H. YAMADA's torsional moment T_s diagram for an end bending moment M_B

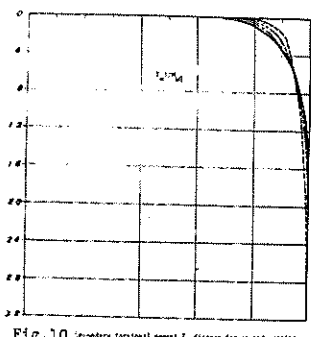


Fig. 10 Secondary torsional moment T_s diagram for an end bending moment M_B

3. 考 察

断面定数の計算例が少ないので明確なことは云えないが、高速道路の ramp way に頻繁に用いられる合成箱桁橋の場合、 $\mu\theta$ の値が比較的小小さく ($\mu\theta \approx 30$)、しかも $K \approx 0.5$ であるので、 T_s と T_w との比率が、従って、せん断流の分布が、従来の曲げねじり理論と比べて異なる。

曲線箱桁橋の場合、一般に、ねじりによるせん断応力が曲げによるせん断応力に対して占める割合は、かなりのものであるので、ジヤルの設計には、こりを充てて充分検討を要する点に思われる。

特に、ねじりの拘束が大きい連続曲線桁の中間支承上附近の断面においては、充分注意を要するものと思われるが、こりを充てては現在計算を進めており、別途に報告する予定である。

参考文献

- (1) 小西、白石、神部；円弧曲線桁の曲げねじり理論について 第1回橋梁構造工学発表会
講演集